

Starkniederschlagshöhen und -spenden gemäß KOSTRA-DWD-2020

Rasterfeld 80136

(Zeile 80, Spalte 136)

Regenspende und Bemessungsniederschlagswerte in Abhängigkeit von Wiederkehrzeit T und Dauerstufe D

| Dauerstufe D | | Wiederkehrzeit T | | | | | | | | | | | | | | | | | |
|--------------|-----|------------------|------------|------|------------|------|------------|------|------------|------|------------|-------|------------|-------|------------|-------|------------|-------|------------|
| | | 1 a | | 2 a | | 3 a | | 5 a | | 10 a | | 20 a | | 30 a | | 50 a | | 100 a | |
| min | Std | mm | l / (s ha) | mm | l / (s ha) | mm | l / (s ha) | mm | l / (s ha) | mm | l / (s ha) | mm | l / (s ha) | mm | l / (s ha) | mm | l / (s ha) | mm | l / (s ha) |
| 5 | | 5,7 | 190,0 | 6,9 | 230,0 | 7,7 | 256,7 | 8,6 | 286,7 | 10,0 | 333,3 | 11,4 | 380,0 | 12,4 | 413,3 | 13,6 | 453,3 | 15,4 | 513,3 |
| 10 | | 7,5 | 125,0 | 9,0 | 150,0 | 10,0 | 166,7 | 11,2 | 186,7 | 13,0 | 216,7 | 14,9 | 248,3 | 16,1 | 268,3 | 17,7 | 295,0 | 20,0 | 333,3 |
| 15 | | 8,6 | 95,6 | 10,4 | 115,6 | 11,5 | 127,8 | 12,9 | 143,3 | 15,0 | 166,7 | 17,1 | 190,0 | 18,5 | 205,6 | 20,4 | 226,7 | 23,0 | 255,6 |
| 20 | | 9,4 | 78,3 | 11,4 | 95,0 | 12,6 | 105,0 | 14,2 | 118,3 | 16,5 | 137,5 | 18,8 | 156,7 | 20,4 | 170,0 | 22,4 | 186,7 | 25,3 | 210,8 |
| 30 | | 10,7 | 59,4 | 12,9 | 71,7 | 14,3 | 79,4 | 16,1 | 89,4 | 18,7 | 103,9 | 21,4 | 118,9 | 23,1 | 128,3 | 25,4 | 141,1 | 28,7 | 159,4 |
| 45 | | 12,1 | 44,8 | 14,6 | 54,1 | 16,2 | 60,0 | 18,2 | 67,4 | 21,1 | 78,1 | 24,2 | 89,6 | 26,1 | 96,7 | 28,7 | 106,3 | 32,4 | 120,0 |
| 60 | 1 | 13,2 | 36,7 | 15,9 | 44,2 | 17,6 | 48,9 | 19,8 | 55,0 | 23,0 | 63,9 | 26,3 | 73,1 | 28,5 | 79,2 | 31,3 | 86,9 | 35,3 | 98,1 |
| 90 | 1,5 | 14,9 | 27,6 | 17,9 | 33,1 | 19,8 | 36,7 | 22,3 | 41,3 | 25,9 | 48,0 | 29,6 | 54,8 | 32,0 | 59,3 | 35,2 | 65,2 | 39,8 | 73,7 |
| 120 | 2 | 16,2 | 22,5 | 19,5 | 27,1 | 21,5 | 29,9 | 24,3 | 33,8 | 28,2 | 39,2 | 32,2 | 44,7 | 34,8 | 48,3 | 38,3 | 53,2 | 43,2 | 60,0 |
| 180 | 3 | 18,1 | 16,8 | 21,9 | 20,3 | 24,2 | 22,4 | 27,2 | 25,2 | 31,6 | 29,3 | 36,2 | 33,5 | 39,1 | 36,2 | 43,0 | 39,8 | 48,5 | 44,9 |
| 240 | 4 | 19,7 | 13,7 | 23,8 | 16,5 | 26,3 | 18,3 | 29,6 | 20,6 | 34,3 | 23,8 | 39,2 | 27,2 | 42,5 | 29,5 | 46,7 | 32,4 | 52,7 | 36,6 |
| 360 | 6 | 22,1 | 10,2 | 26,7 | 12,4 | 29,5 | 13,7 | 33,2 | 15,4 | 38,5 | 17,8 | 44,0 | 20,4 | 47,6 | 22,0 | 52,4 | 24,3 | 59,1 | 27,4 |
| 540 | 9 | 24,8 | 7,7 | 29,9 | 9,2 | 33,1 | 10,2 | 37,2 | 11,5 | 43,2 | 13,3 | 49,4 | 15,2 | 53,4 | 16,5 | 58,7 | 18,1 | 66,3 | 20,5 |
| 720 | 12 | 26,9 | 6,2 | 32,4 | 7,5 | 35,9 | 8,3 | 40,4 | 9,4 | 46,9 | 10,9 | 53,6 | 12,4 | 58,0 | 13,4 | 63,7 | 14,7 | 71,9 | 16,6 |
| 1080 | 18 | 30,2 | 4,7 | 36,4 | 5,6 | 40,2 | 6,2 | 45,3 | 7,0 | 52,6 | 8,1 | 60,1 | 9,3 | 65,0 | 10,0 | 71,4 | 11,0 | 80,7 | 12,5 |
| 1440 | 24 | 32,7 | 3,8 | 39,4 | 4,6 | 43,6 | 5,0 | 49,1 | 5,7 | 57,0 | 6,6 | 65,1 | 7,5 | 70,5 | 8,2 | 77,5 | 9,0 | 87,5 | 10,1 |
| 2880 | 48 | 39,8 | 2,3 | 47,9 | 2,8 | 53,0 | 3,1 | 59,7 | 3,5 | 69,3 | 4,0 | 79,2 | 4,6 | 85,7 | 5,0 | 94,2 | 5,5 | 106,3 | 6,2 |
| 4320 | 72 | 44,6 | 1,7 | 53,7 | 2,1 | 59,4 | 2,3 | 66,9 | 2,6 | 77,7 | 3,0 | 88,8 | 3,4 | 96,0 | 3,7 | 105,6 | 4,1 | 119,2 | 4,6 |
| 5760 | 96 | 48,3 | 1,4 | 58,3 | 1,7 | 64,4 | 1,9 | 72,5 | 2,1 | 84,2 | 2,4 | 96,3 | 2,8 | 104,1 | 3,0 | 114,5 | 3,3 | 129,3 | 3,7 |
| 7200 | 120 | 51,4 | 1,2 | 62,1 | 1,4 | 68,6 | 1,6 | 77,2 | 1,8 | 89,7 | 2,1 | 102,5 | 2,4 | 110,9 | 2,6 | 121,9 | 2,8 | 137,6 | 3,2 |
| 8640 | 144 | 54,2 | 1,0 | 65,3 | 1,3 | 72,2 | 1,4 | 81,3 | 1,6 | 94,4 | 1,8 | 107,9 | 2,1 | 116,7 | 2,3 | 128,3 | 2,5 | 144,9 | 2,8 |
| 10080 | 168 | 56,6 | 0,9 | 68,2 | 1,1 | 75,4 | 1,2 | 84,9 | 1,4 | 98,6 | 1,6 | 112,7 | 1,9 | 121,9 | 2,0 | 134,0 | 2,2 | 151,3 | 2,5 |

Starkniederschlagshöhen und -spenden gemäß KOSTRA-DWD-2020

Rasterfeld 80136

(Zeile 80, Spalte 136)

Örtliche Unsicherheiten in Abhängigkeit von Wiederkehrzeit T und Dauerstufe D

| Dauerstufe D | | Wiederkehrzeit T | | | | | | | | |
|--------------|-----|------------------|-----|-----|-----|------|------|------|------|-------|
| | | 1 a | 2 a | 3 a | 5 a | 10 a | 20 a | 30 a | 50 a | 100 a |
| min | Std | ± % | ± % | ± % | ± % | ± % | ± % | ± % | ± % | ± % |
| 5 | | 14 | 14 | 15 | 16 | 17 | 17 | 18 | 18 | 19 |
| 10 | | 15 | 17 | 18 | 19 | 20 | 21 | 21 | 22 | 22 |
| 15 | | 16 | 18 | 19 | 20 | 21 | 22 | 23 | 23 | 24 |
| 20 | | 16 | 18 | 19 | 21 | 22 | 23 | 23 | 24 | 25 |
| 30 | | 16 | 18 | 19 | 21 | 22 | 23 | 24 | 24 | 25 |
| 45 | | 16 | 18 | 19 | 20 | 22 | 23 | 23 | 24 | 25 |
| 60 | 1 | 15 | 17 | 18 | 20 | 21 | 22 | 23 | 23 | 24 |
| 90 | 1,5 | 14 | 16 | 17 | 18 | 20 | 21 | 21 | 22 | 23 |
| 120 | 2 | 13 | 15 | 16 | 17 | 19 | 20 | 20 | 21 | 22 |
| 180 | 3 | 12 | 14 | 15 | 16 | 17 | 18 | 19 | 20 | 20 |
| 240 | 4 | 11 | 13 | 14 | 15 | 16 | 17 | 18 | 19 | 19 |
| 360 | 6 | 11 | 12 | 13 | 14 | 15 | 16 | 17 | 17 | 18 |
| 540 | 9 | 11 | 12 | 12 | 13 | 14 | 15 | 15 | 16 | 17 |
| 720 | 12 | 11 | 11 | 12 | 13 | 13 | 14 | 15 | 15 | 16 |
| 1080 | 18 | 12 | 12 | 12 | 12 | 13 | 14 | 14 | 14 | 15 |
| 1440 | 24 | 13 | 12 | 13 | 13 | 13 | 14 | 14 | 14 | 15 |
| 2880 | 48 | 16 | 15 | 15 | 14 | 14 | 14 | 15 | 15 | 15 |
| 4320 | 72 | 18 | 17 | 16 | 16 | 16 | 16 | 16 | 16 | 16 |
| 5760 | 96 | 20 | 18 | 18 | 17 | 17 | 17 | 17 | 17 | 17 |
| 7200 | 120 | 21 | 20 | 19 | 18 | 18 | 18 | 17 | 17 | 17 |
| 8640 | 144 | 22 | 21 | 20 | 19 | 19 | 18 | 18 | 18 | 18 |
| 10080 | 168 | 23 | 21 | 21 | 20 | 19 | 19 | 19 | 19 | 19 |

Parameter für abweichende T und D

Lokationsparameter ξ (Xi)

13,3901518

Skalenparameter α (Alpha)

3,83689044

Formparameter κ (Kappa)

-0,1

1. Koutsoyiannis-Parameter θ (Theta)

0,01889865

2. Koutsoyiannis-Parameter η (Eta)

0,71869255

Parameter für dauerstufenübergreifende Extremwertschätzung nach KOUTSOYIANNIS et al. 1998.

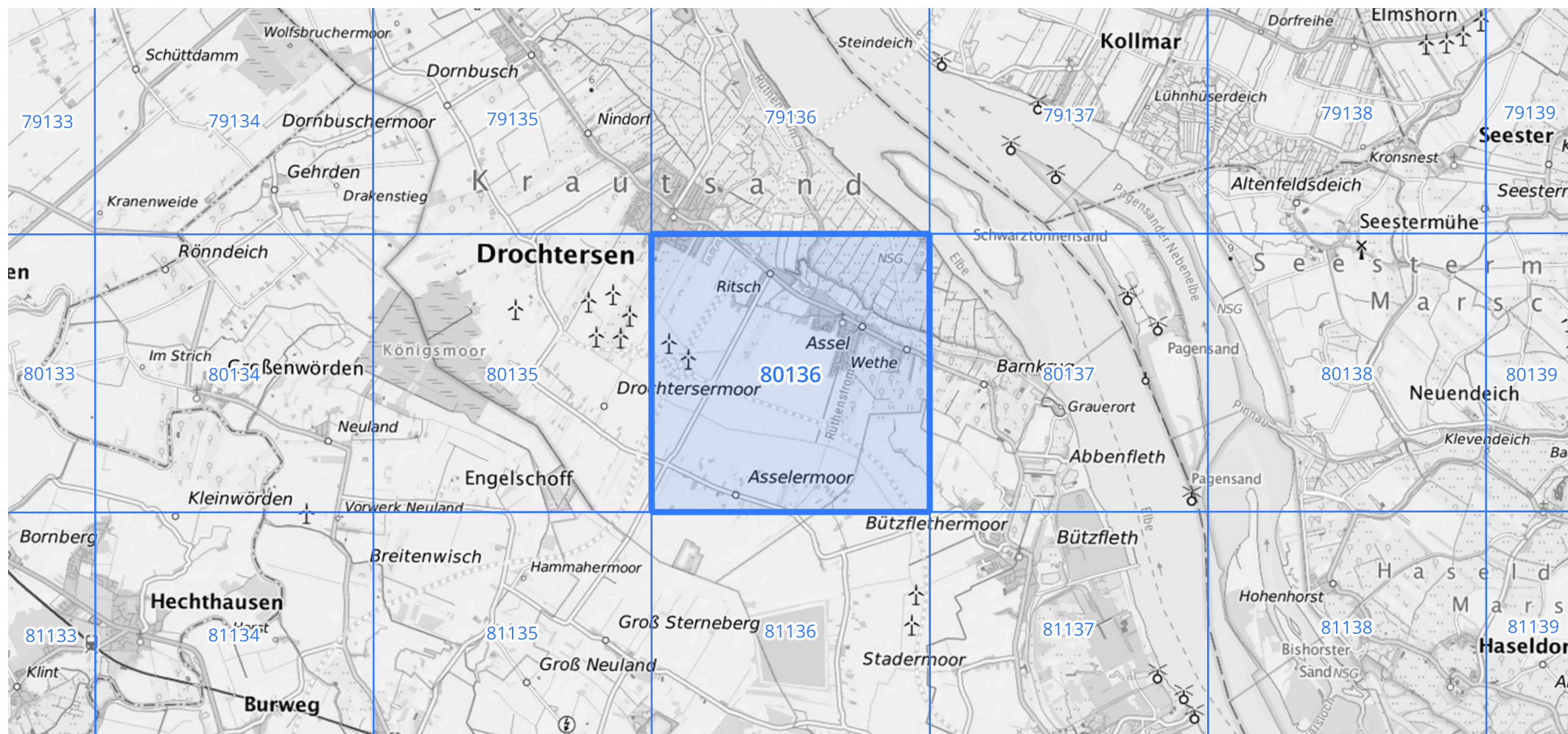
Siehe auch Anwendungshilfe zu KOSTRA-DWD-2020 des Deutschen Wetterdienstes.

Starkniederschlagshöhen und -spenden gemäß KOSTRA-DWD-2020

Rasterfeld 80136

(Zeile 80, Spalte 136)

Übersichtskarte des Rasterfeldes 80136, M 1 : 100 000



Quelle Rasterdaten: KOSTRA-DWD-2020 des Deutschen Wetterdienstes, Stand 12/2022.

Seite 3 von 3

Kartendarstellung: © Bundesamt für Kartographie und Geodäsie (2023), Datenquellen: https://sgx.geodatenzentrum.de/web_public/gdz/datenquellen/Datenquellen_TopPlusOpen.html

Für die Richtigkeit und Aktualität der Angaben wird keine Gewähr übernommen. Erstellt 01/2023.